

Fig. 3
(Prior Art)

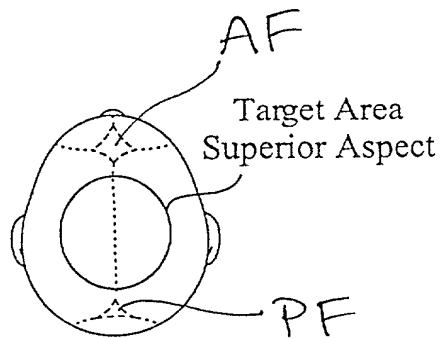


Fig. 4a

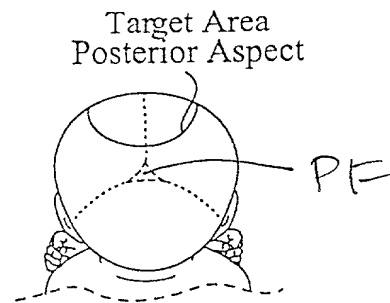


Fig. 4b

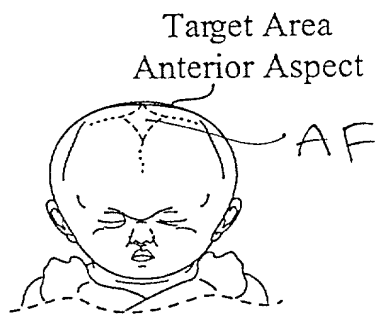


Fig. 4c

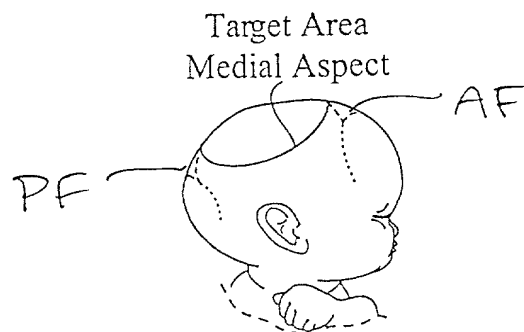


Fig. 4d

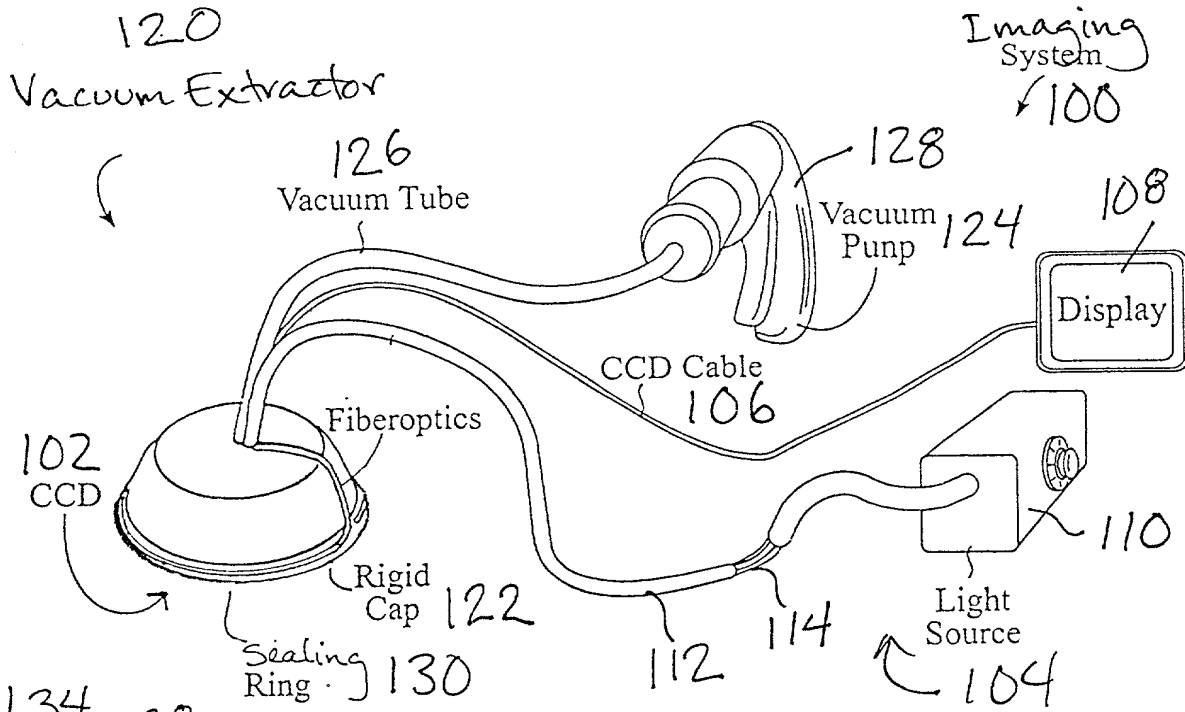


Fig. 5

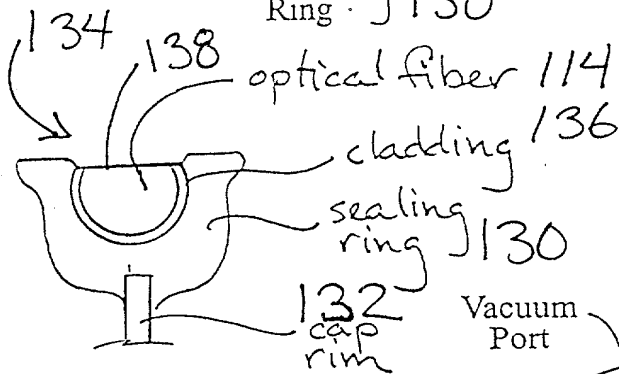


Fig. 7

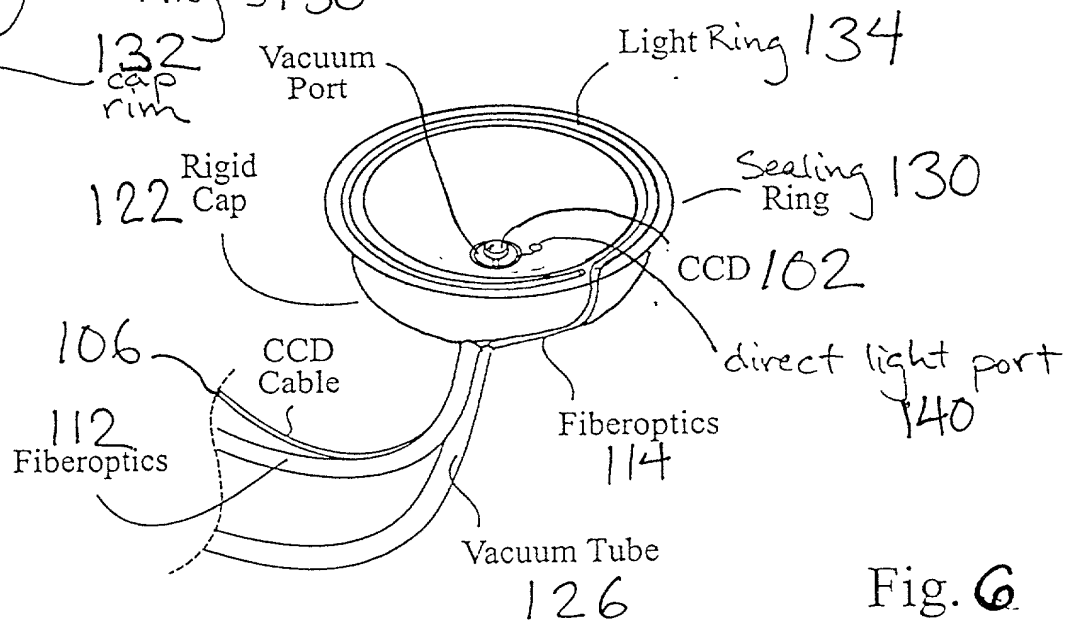


Fig. 6

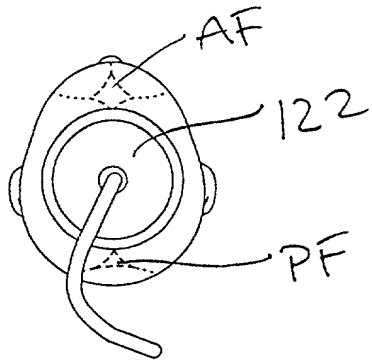


Fig. 8a

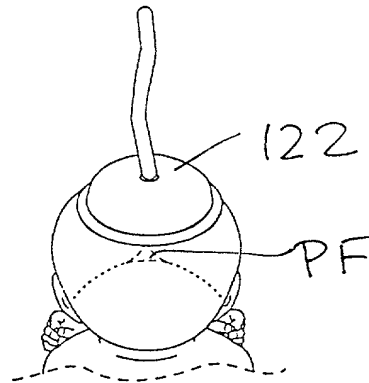


Fig. 8b



Fig. 8c

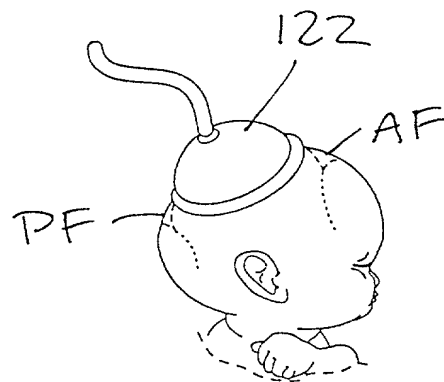
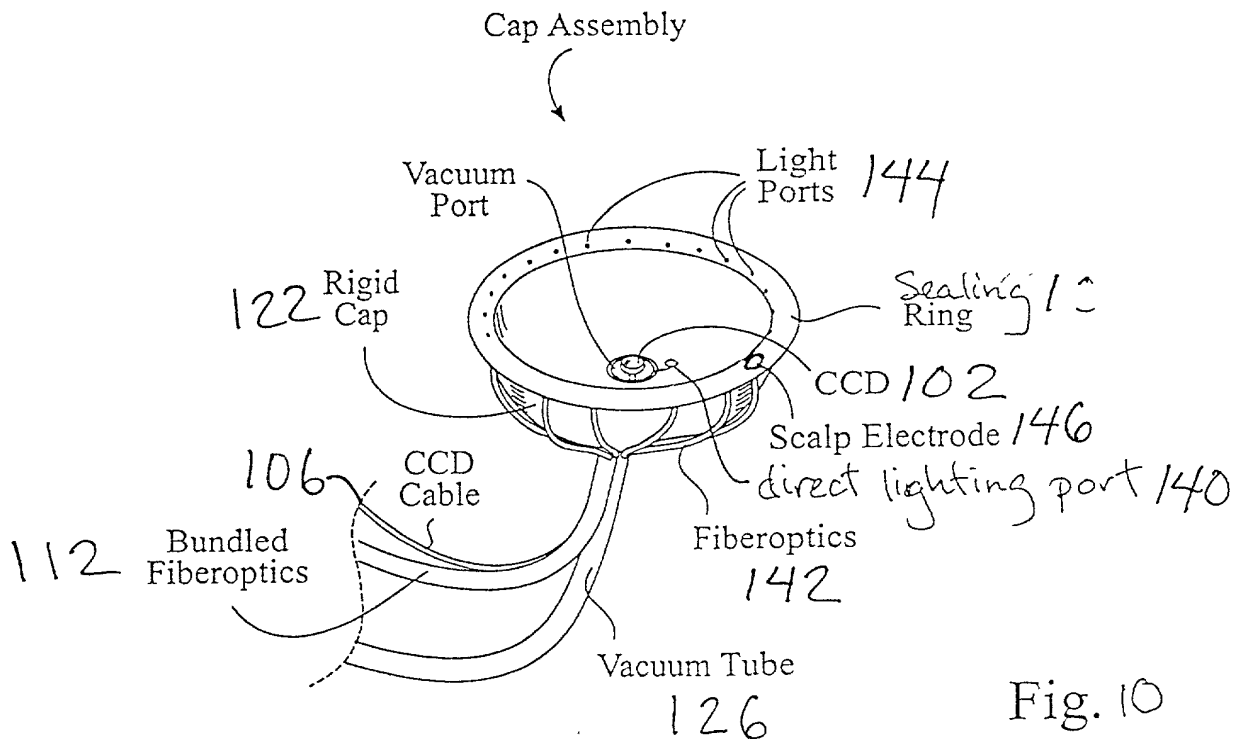
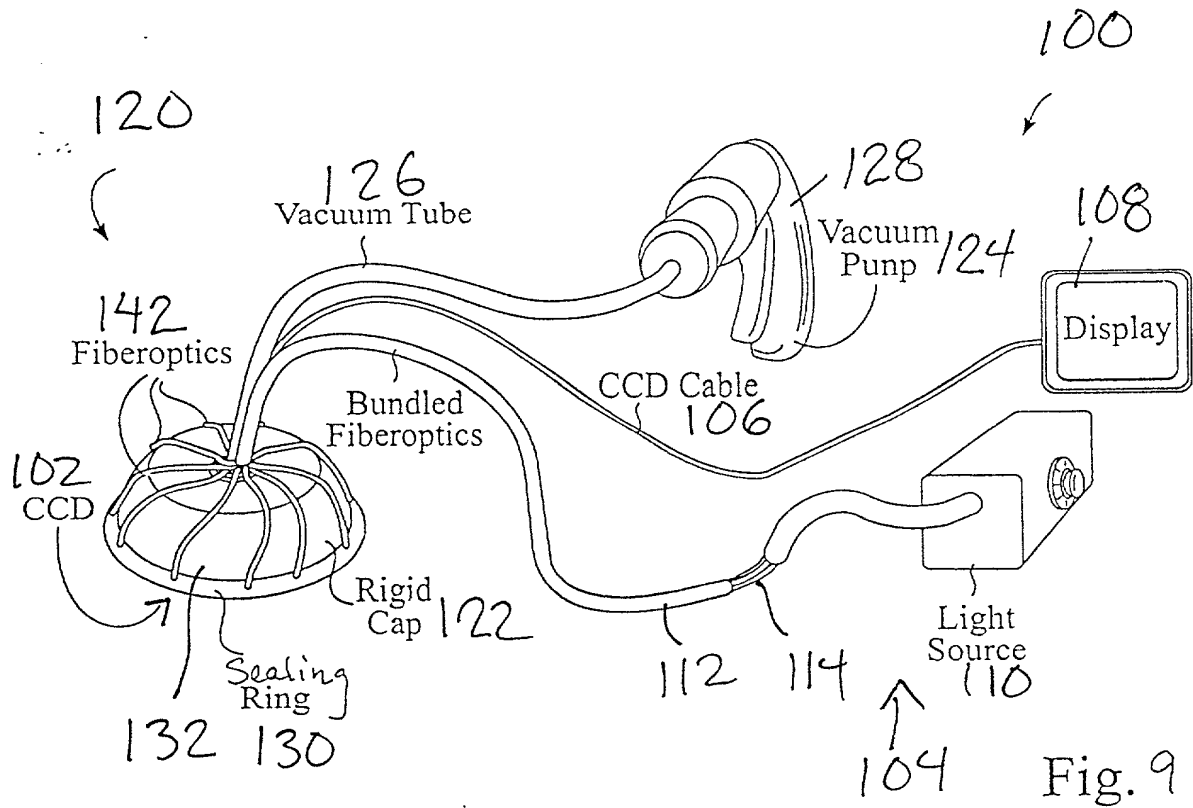
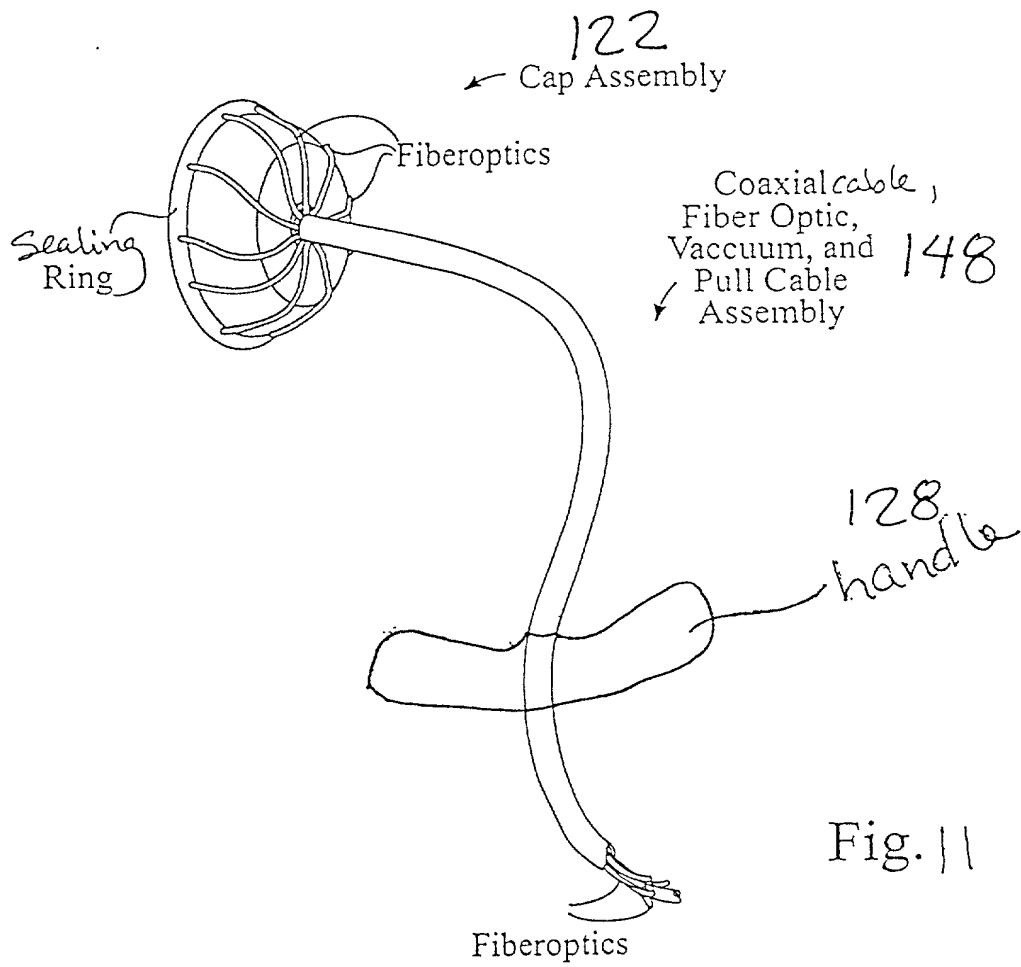


Fig. 8d





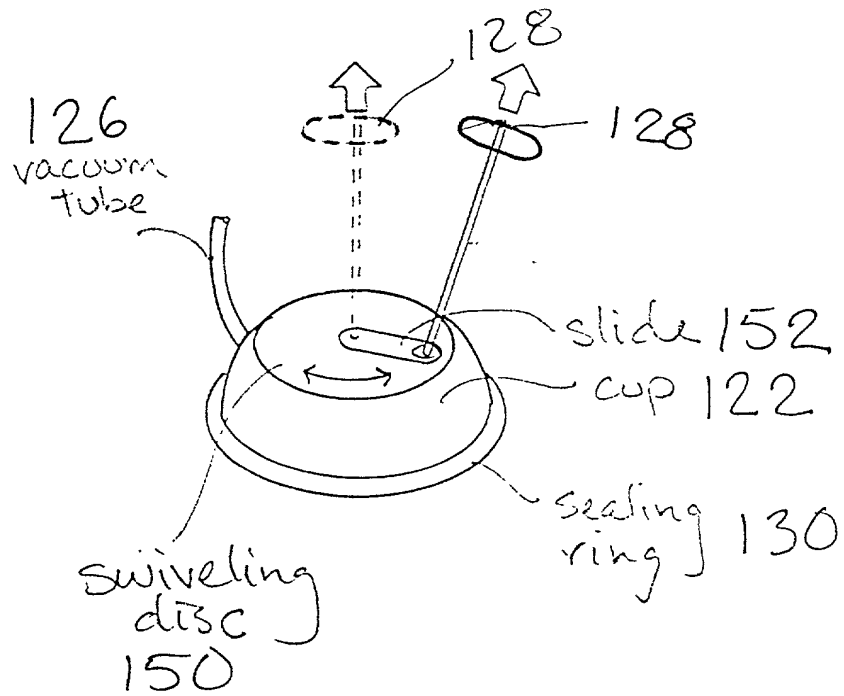


Fig 12

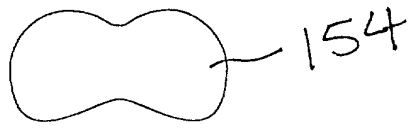


Fig. 13

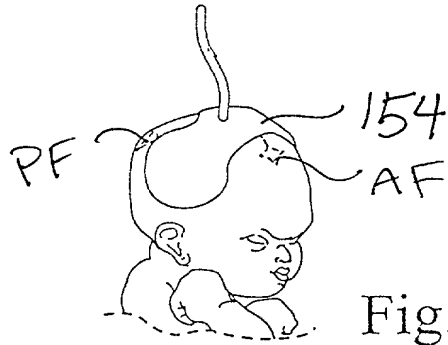


Fig. 14

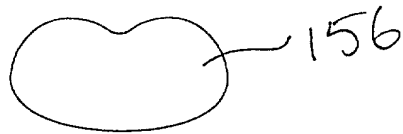


Fig. 15



Fig. 16

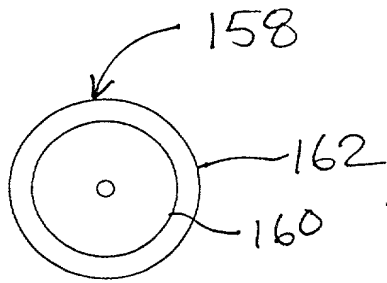


Fig. 17

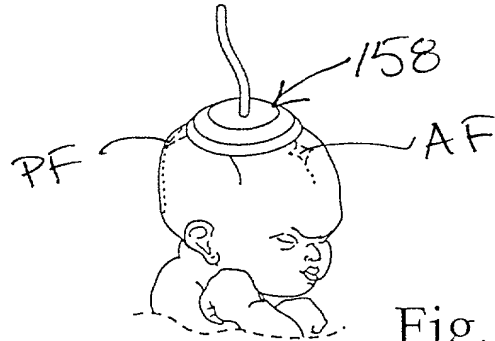


Fig. 18

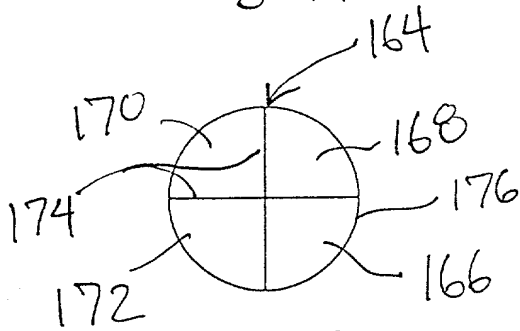


Fig. 19

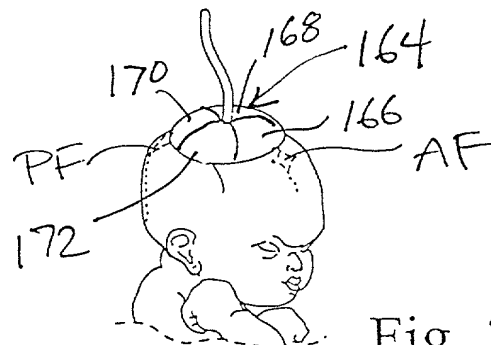


Fig. 20

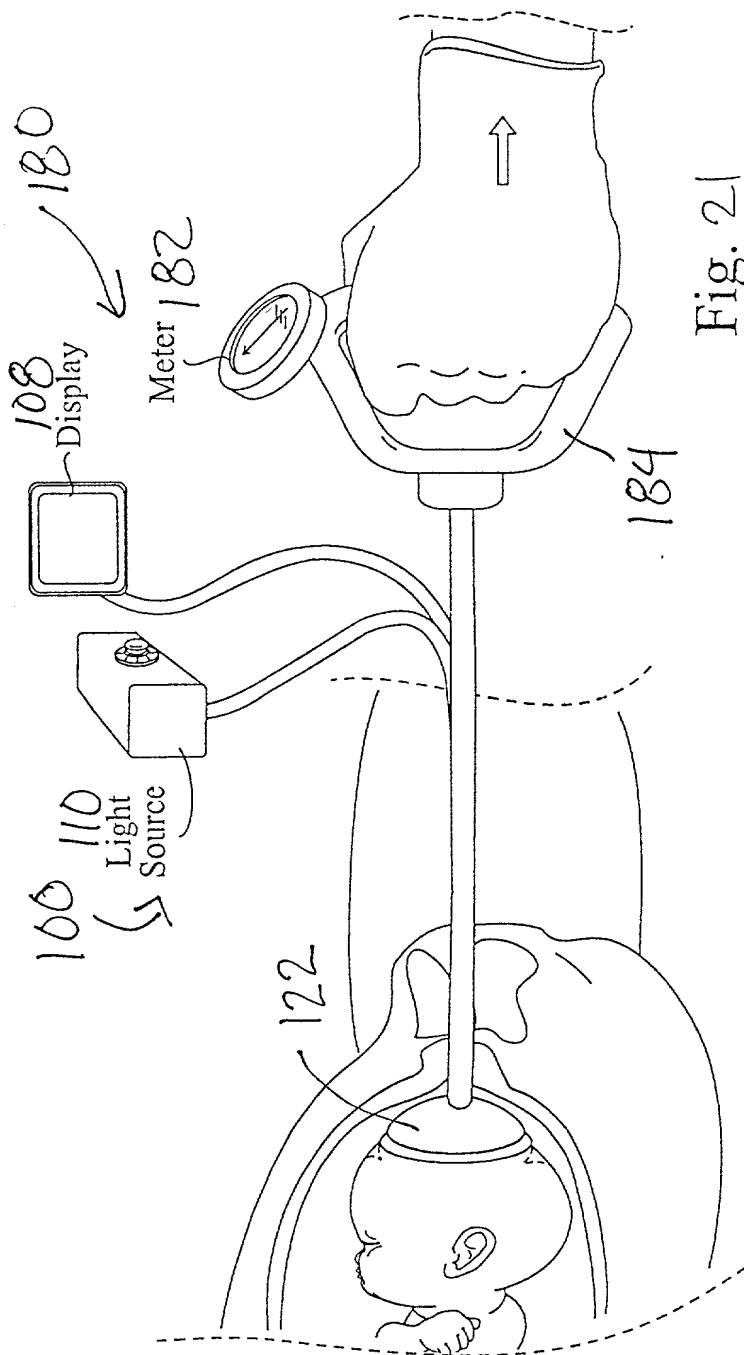
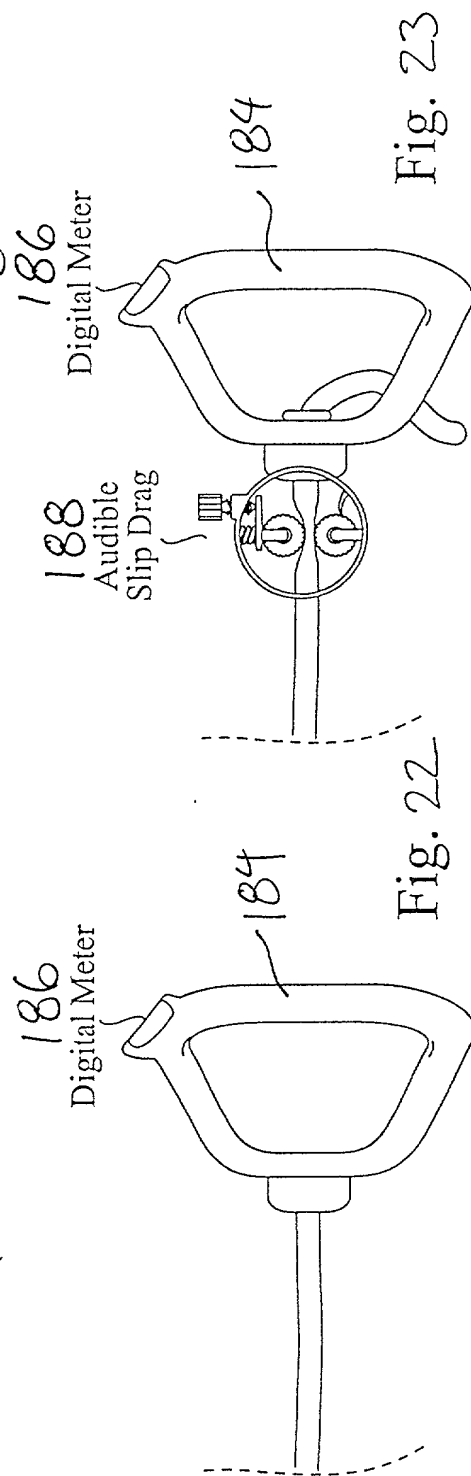


Fig. 21



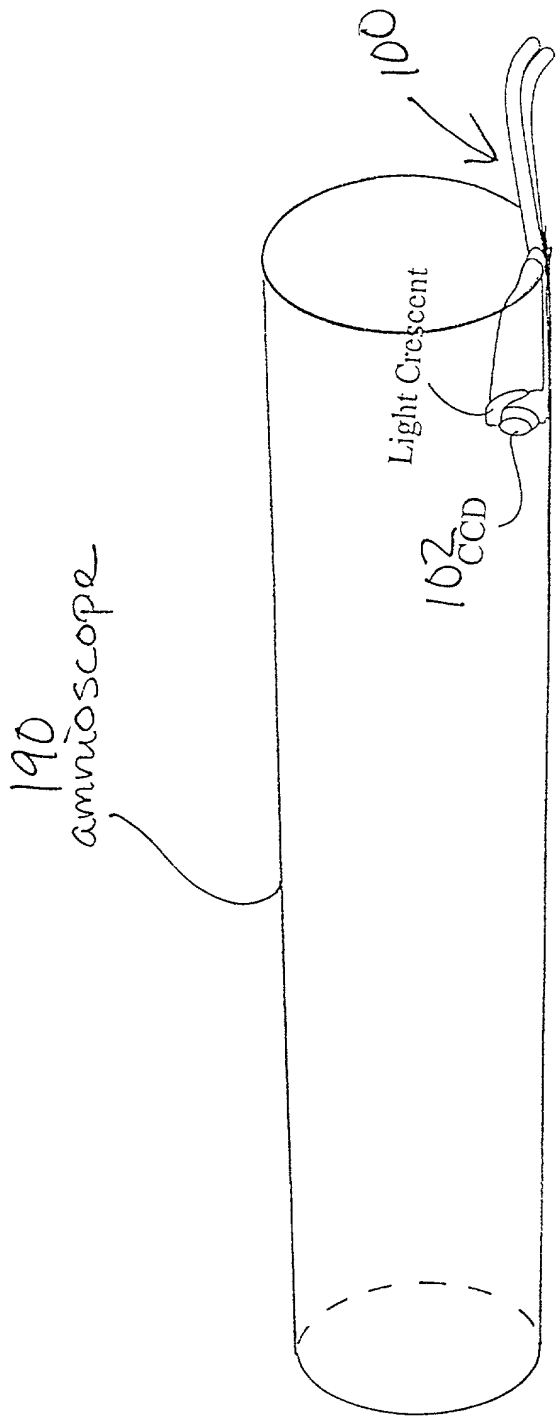


Fig. 24

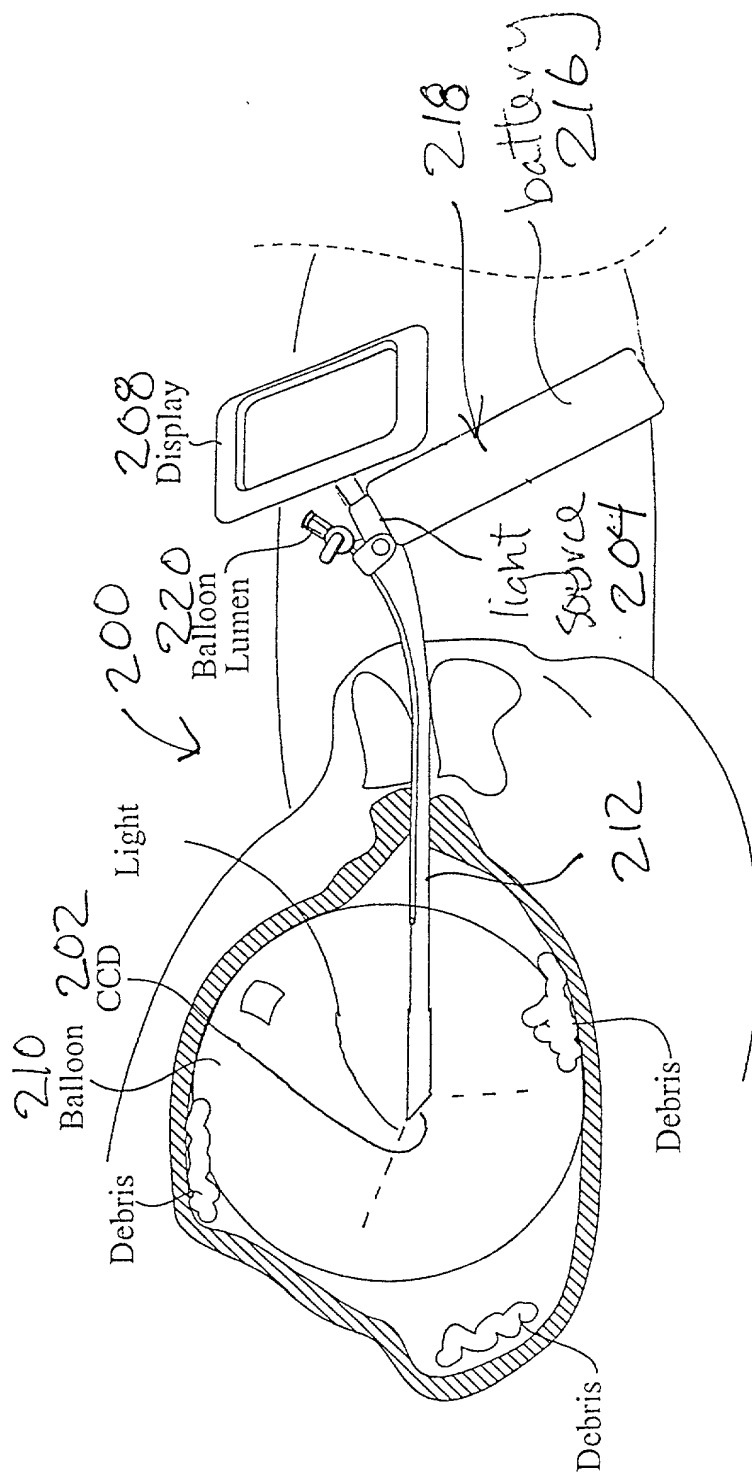


Fig. 25

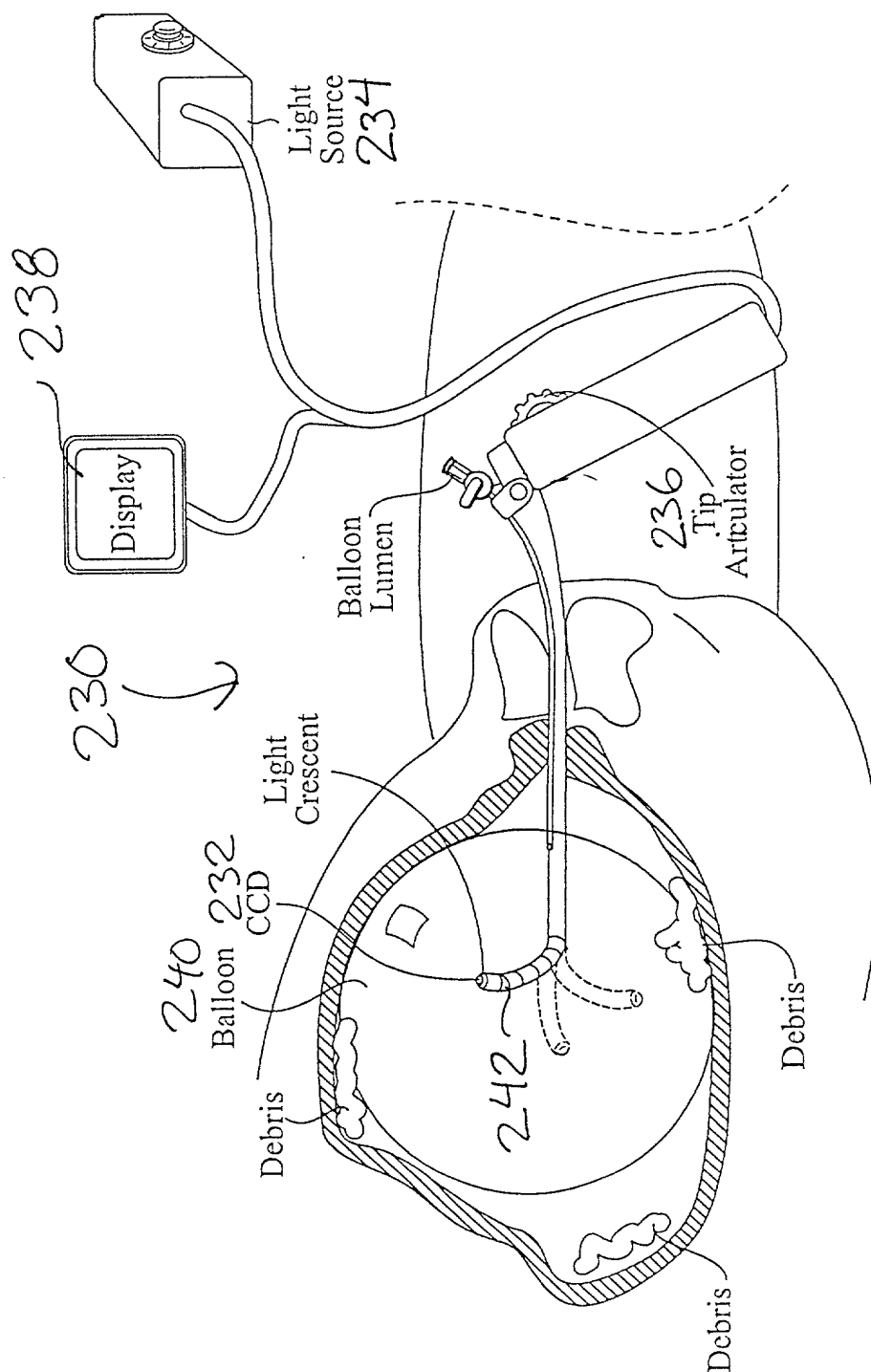


Fig. 26

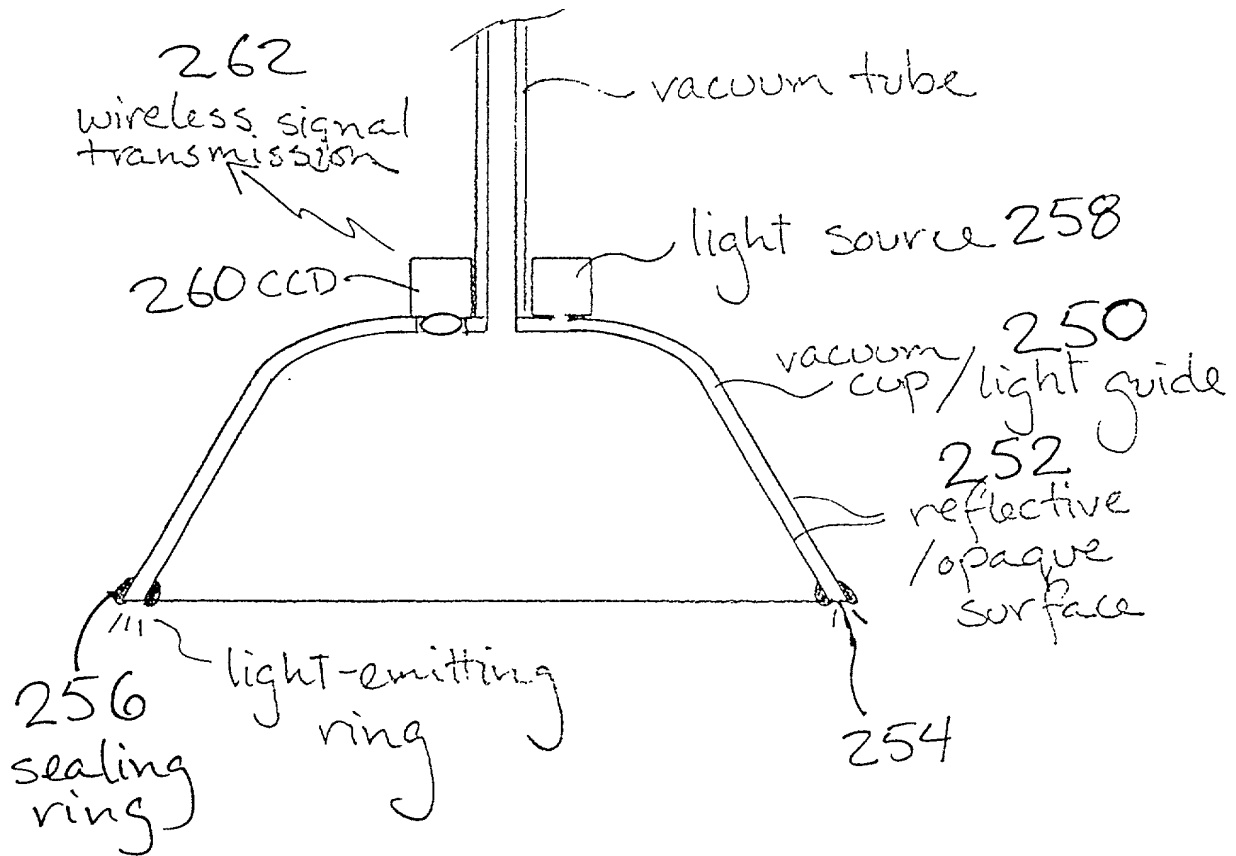


Fig. 27